

顧客: 社内 件名: 一般	文書種類: 加速器科学 文書番号: TD-25050B
------------------	--------------------------------

文書タイトル

ツイスパラメーターとマクロ粒子分布
— 理論的なお話 —

文書発行 (株) オメガソリューションズ 技術部 山本 昌志 (取締役社長) e-mail: yamamoto.masashi@omega-solutions.co.jp Tel: 090-9647-0404	発行日	2026.02.15			
	確認				作成
	検認			照査	
					Masashi Yamamoto

[概要]

本図書は、ツイスパラメーターから粒子分布を作成する方法とプログラムを示す。

[改訂履歴]

TD-25050A	2025.08.30	新規作成
TD-25050B	2026.02.15	プログラム追加等の修正



Omega Solutions

会社名	(株) オメガソリューションズ
web	https://www.omega-solutions.co.jp/
住所	〒135-0043 東京都江東区塩浜 2-7-5-347 クリオレジダンス東京 A-347
e-mail	contact@omega-solutions.co.jp
電話番号	03-6666-5563, 090-9647-0404 (携帯)

目次

1	はじめに	1
2	理論	2
2.1	ツイスパラメーター	2
2.2	二次元正規分布	3
2.3	ツイスパラメーターと二次元正規分布の関係	4
2.4	エミッタンスについて	4
2.4.1	追加説明: RMS エミッタンス	5
2.4.2	その他のエミッタンス	5
3	二次元正規分布の作成方法	6
3.1	手続き (1) 標準二次元正規分布	6
3.2	手続き (2) コレスキー分解	6
3.3	手続き (3) 座標変換	6
4	実際のプログラム	8
4.1	実行プログラムと入力ファイル	8
4.2	出力	8
	付録 A 線形代数のいろいろ	10
	付録 B ツイスパラメーターの共分散行列のコレスキー分解	12
	付録 C ツイスパラメーターから粒子分布作成プログラム	13
C.1	Python プログラム	13
C.1.1	分布作成プログラム	13
C.1.2	散布図作成クラス	20
C.2	入力データ	23
C.2.1	粒子分布	23
C.2.2	散布図プロット設定	23
C.3	実行バッチファイル	24

1 はじめに

加速器のビームダイナミクス計算では、適切な初期ビーム分布を設定し、その後の運動を計算する。この初期分布はツイスパラメーターを使い定義することができる。本図書の目的は、ツイスパラメーターから粒子の分布を作成する具体的な方法を示すことである。ただ単に手順を示すのではなく、それに含まれる数学的な背景を示す。

さらに、本図書では理論的背景のみならず、実際の Python プログラムも示す。このプログラムの目的は

$$\alpha = 1.65 \quad \beta = 0.051 \quad \varepsilon = 2.894352 \times 10^{-5}$$

のようにツイスパラメーターと RMS エミッタンスを指定すると、図 1 に示す位相空間分布を作成することができる。

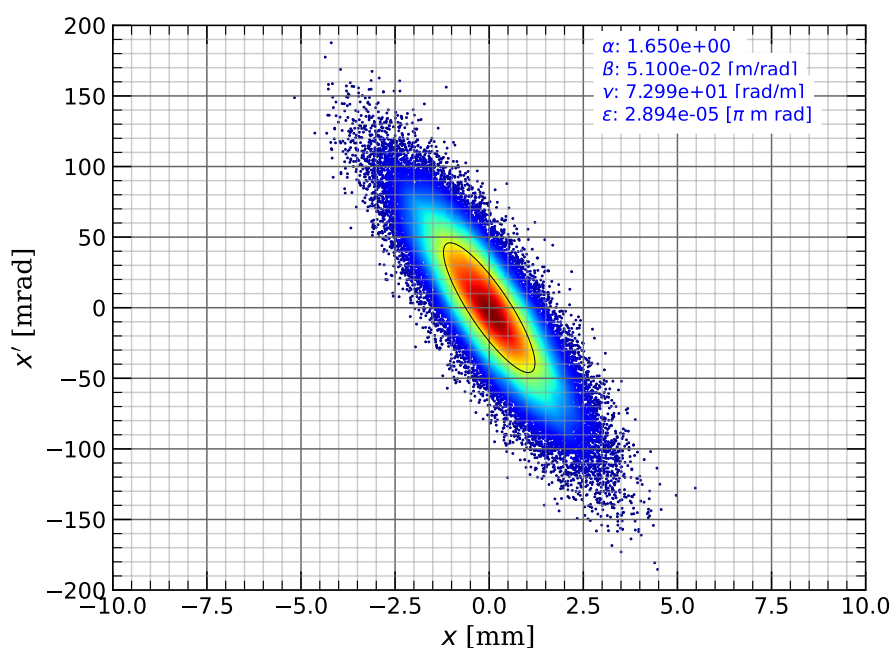


図 1: 位相空間プロット

2 理論

最初に、ツイスパラメーターの物理的な意味を示す。これは、実際に粒子分布を作成する手順を示す3節を理解するための基礎知識を与える。

ツイスパラメーターは楕円で表すことができる。この辺りについては、参考文献 [1, 2] で詳細に説明しているので参考になるであろう。

2.1 ツイスパラメーター

粒子の運動は、六次元位相空間 — 例えば (x, y, z, p_x, p_y, p_z) — で表現できる。粒子はこの位相空間の一点の座標で表すことができる。加速器の世界では、運動量の代わりにビーム軸からの角度 ($x' = p_x/p_z, y' = p_y/p_z$) を使うことが多い。また、加速器のビームは z 軸方向にはバンチが周期的に現れるので、座標と運動量の代わりに位相と平均からの運動エネルギーの差 ($\phi, \Delta E$) で表現する。 ϕ は RF の位相、 ΔE は粒子の平均からの運動エネルギーの差である。ようするに、加速器科学の世界では位相空間は $(x, y, \phi, x', y', \Delta E)$ と表現するのである。

6次元のプロットは描画が不可能なので、通常は (x, x') と (y, y') 、 $(\phi, \Delta E)$ 三組の二次元位相空間プロットが使われる。位相空間プロットでの粒子の分布の表現には様々な方法がある。例えば、粒子の散布図、密度等高線などである。ツイスパラメーターをプロットする方法もある。以降、ツイスパラメーターでのプロットについて述べる。

ツイスパラメーター $(\alpha, \beta, \gamma, \varepsilon)$ を使い粒子の分布を表す位相空間プロット (x, x') は、

$$\begin{bmatrix} x & x' \end{bmatrix} \begin{bmatrix} \gamma & \alpha \\ \alpha & \beta \end{bmatrix} \begin{bmatrix} x \\ x' \end{bmatrix} = I, \quad I = \varepsilon \quad (1)$$

と表される。 I はクーランシュナイダー不変量と呼ばれるもので、後述するがエミッタンスでもある。これが描く曲線はツイスパラメーターに依存し、双曲線や直線、楕円になる [1]。加速器のバンチなので、多くの実務では楕円で近似できる。そのための条件は、

$$0 < \gamma, \quad 0 < \beta, \quad 0 < \beta\gamma - \alpha^2 \quad (2)$$

である。その一方、楕円の方程式はパラメーターが三つ (例: 長径, 短径, 傾き) で表現できる。ツイスパラメーターは4個 $(\alpha, \beta, \gamma, \varepsilon)$ あり、明らかにひとつ多い。何らかの拘束条件が必要である。そこで、

$$\beta\gamma - \alpha^2 = 1 \quad (3)$$

とする。こうすることにより、式 (1) の右辺の ε は、楕円の面積を円周率 π で割った値になり、加速器で使うエミッタンスの定義と等しくなる [1]。これで、ツイスパラメーターは便利な表現となるのだ。

具体的な計算は省くが、図2に楕円とツイスパラメーターの関係を示す*1。

*1 具体的な計算が必要な場合は参考文献 [1] に示している。

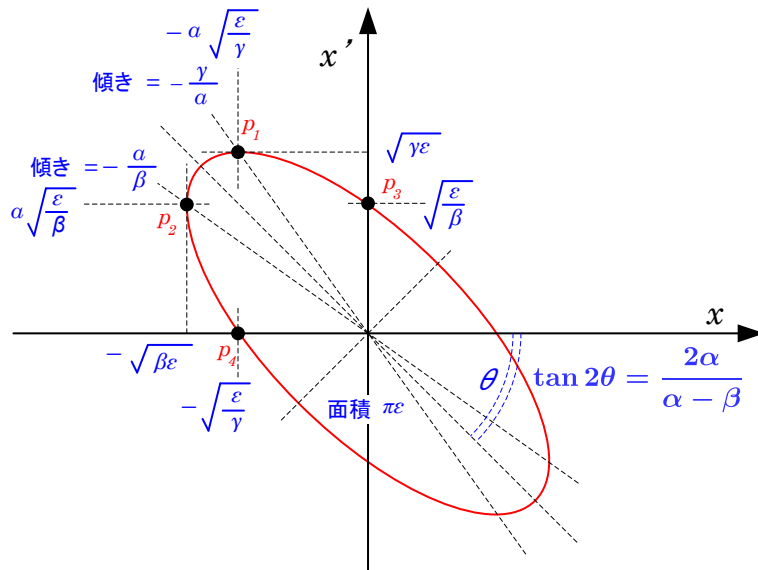


図 2: 楕円とツイスパラメーターの関係

2.2 二次元正規分布

前節では、位相空間の分布は (x, x') で表した。ここでは、 (x, y) で表す。加速器の位相空間に直すときは

$$(x, y) \rightarrow (x, x') \text{ or } (y, y') \text{ or } (\phi, \Delta E) \quad (4)$$

と変数変換すればよい。

多次元の正規分布の確率密度関数 f_X は、

$$f_X(x_1, \dots, x_k) = \frac{\exp\left[-\frac{1}{2}(\mathbf{x} - \boldsymbol{\mu})^T \boldsymbol{\Sigma}^{-1}(\mathbf{x} - \boldsymbol{\mu})\right]}{\sqrt{(2\pi)^k |\boldsymbol{\Sigma}|}} \quad (5)$$

である。 $\boldsymbol{\Sigma}$ は一般化された共分散行列で、 $\boldsymbol{\Sigma}^{-1}$ はその逆行列、 $|\boldsymbol{\Sigma}|$ は行列式: $\det(\boldsymbol{\Sigma})$ を表す。なお、本図書では、行列式は $|\boldsymbol{\Sigma}|$ で表す。当然のことではあるが、この確率密度関数の x と y の全領域の積分は、1 に規格化されている。ここで、確率変数: \mathbf{x} と平均: $\boldsymbol{\mu}$ は k 次元の列ベクトルである。二次元の共分散行列は、

$$\boldsymbol{\Sigma} = \begin{bmatrix} \sigma_x^2 & \rho\sigma_x\sigma_y \\ \rho\sigma_x\sigma_y & \sigma_y^2 \end{bmatrix} \quad (6)$$

となる。 σ_x, σ_y は標準偏差で正の値を持つ。 ρ は相関係数で範囲は $-1 \leq \rho \leq 1$ である。単純化するために平均: $\boldsymbol{\mu} = 0$ とし、式 (6) を式 (5) に代入すると、

$$f_X(x, y) = \frac{1}{2\pi\sigma_x\sigma_y\sqrt{1-\rho^2}} \exp\left\{-\frac{1}{2\sigma_x^2\sigma_y^2(1-\rho^2)} [x \ y] \begin{bmatrix} \sigma_y^2 & -\rho\sigma_x\sigma_y \\ -\rho\sigma_x\sigma_y & \sigma_x^2 \end{bmatrix} \begin{bmatrix} x \\ y \end{bmatrix}\right\} \quad (7)$$

$$= \frac{1}{2\pi\sigma_x\sigma_y\sqrt{1-\rho^2}} \exp\left\{-\frac{1}{2} [x \ y] \begin{bmatrix} \frac{1}{\sigma_x^2(1-\rho^2)} & -\frac{\rho}{\sigma_x\sigma_y(1-\rho^2)} \\ -\frac{\rho}{\sigma_x\sigma_y(1-\rho^2)} & \frac{1}{\sigma_y^2(1-\rho^2)} \end{bmatrix} \begin{bmatrix} x \\ y \end{bmatrix}\right\} \quad (8)$$

$$= \frac{1}{2\pi\sigma_x\sigma_y\sqrt{1-\rho^2}} \exp\left\{-\frac{1}{2(1-\rho^2)} \left[\frac{x^2}{\sigma_x^2} - \frac{2\rho xy}{\sigma_x\sigma_y} + \frac{y^2}{\sigma_y^2}\right]\right\} \quad (9)$$

となる。この式の指数関数の変数となっている座標 (x, y) は、明らかに等密度曲線を表す。例えば、

$$\begin{bmatrix} x & y \end{bmatrix} \begin{bmatrix} \frac{1}{\sigma_x^2(1-\rho^2)} & -\frac{\rho}{\sigma_x\sigma_y(1-\rho^2)} \\ -\frac{\rho}{\sigma_x\sigma_y(1-\rho^2)} & \frac{1}{\sigma_y^2(1-\rho^2)} \end{bmatrix} \begin{bmatrix} x \\ y \end{bmatrix} = 1 \quad (10)$$

とすると、これは密度のピークの $\exp(-1/2)$ になる楕円である。左辺の真ん中の行列は Σ^{-1} である。この式の楕円の面積 S は、

$$S = \frac{\pi}{\sqrt{|\Sigma^{-1}|}} = \pi\sqrt{\det(\Sigma)} = \pi\sigma_x\sigma_y\sqrt{1-\rho^2} = \pi\varepsilon_{rms} \quad (11)$$

となる。 ε_{rms} は RMS エミッタンスである*2。

2.3 ツイスパラメーターと二次元正規分布の関係

次に、前節で示したツイスパラメーター $(\alpha, \beta, \gamma, \varepsilon)$ と二次元正規分布のパラメーター $(\sigma_x, \sigma_y, \rho)$ の関係を示す。そのため、式 (10) を

$$\begin{bmatrix} x & y \end{bmatrix} [\Sigma^{-1}] \begin{bmatrix} x \\ y \end{bmatrix} = 1 \quad (12)$$

に、式 (1) も

$$\begin{bmatrix} x & y \end{bmatrix} \begin{bmatrix} \gamma & \alpha \\ \alpha & \beta \end{bmatrix} \begin{bmatrix} x \\ y \end{bmatrix} = \varepsilon_{rms} \quad (13)$$

と書きなおす。これらの式から、

$$\Sigma = \varepsilon_{rms} \begin{bmatrix} \gamma & \alpha \\ \alpha & \beta \end{bmatrix}^{-1} = \varepsilon_{rms} \begin{bmatrix} \beta & -\alpha \\ -\alpha & \gamma \end{bmatrix} \quad (14)$$

で、これを整理すると、

$$\begin{bmatrix} \sigma_x^2 & \rho\sigma_x\sigma_y \\ \rho\sigma_x\sigma_y & \sigma_y^2 \end{bmatrix} = \varepsilon_{rms} \begin{bmatrix} \beta & -\alpha \\ -\alpha & \gamma \end{bmatrix} \quad (15)$$

となる。ただし、式変形の際に $\beta\gamma - \alpha^2 = 1$ の関係を使った。これでツイスパラメーターの統計的な意味が誰でも分かるのだ。これらの式と二次元の正規分布パラメーターからツイスパラメーターを得る式：

$$\beta = \frac{\sigma_x}{\sigma_y\sqrt{1-\rho^2}} \quad \gamma = \frac{\sigma_y}{\sigma_x\sqrt{1-\rho^2}} \quad \alpha = -\frac{\rho}{\sqrt{1-\rho^2}} \quad \varepsilon_{rms} = \sigma_x\sigma_y\sqrt{1-\rho^2} \quad (16)$$

が得られる。最後の式は式 (11) から得られる。ツイスパラメーターから二次元の正規分布パラメーターへの変換は

$$\sigma_x = \sqrt{\beta\varepsilon_{rms}}, \quad \sigma_y = \sqrt{\gamma\varepsilon_{rms}}, \quad \rho = -\frac{\alpha}{\sqrt{\beta\gamma}} \quad (17)$$

となる。

2.4 エミッタンスについて

加速器科学の世界では、困ったことに様々なエミッタンスの定義がある。RMS エミッタンスだけで良さそうであるが、そうもいかない。ここでは、RMS エミッタンスとそのほかのエミッタンスの関係について、簡単にメモしておく。

*2 平均 0 の正規分布の場合、二乗平均平方根 (RMS) と標準偏差 (σ) は同じ値になる。

2.4.1 追加説明: RMS エミッタンス

RMS エミッタンスについて、少しだけ注意をしておく。式 (15) の左辺は、統計学の定義により

$$\begin{bmatrix} \sigma_x^2 & \rho\sigma_x\sigma_y \\ \rho\sigma_x\sigma_y & \sigma_y^2 \end{bmatrix} = \begin{bmatrix} \frac{1}{N}\sum_{i=1}^N x_i^2 & \frac{1}{N}\sum_{i=1}^N x_i y_i \\ \frac{1}{N}\sum_{i=1}^N x_i y_i & \frac{1}{N}\sum_{i=1}^N y_i^2 \end{bmatrix} = \begin{bmatrix} \langle x^2 \rangle & \langle xy \rangle \\ \langle xy \rangle & \langle y^2 \rangle \end{bmatrix} = \Sigma \quad (18)$$

となる。ここで、記号 $\langle z \rangle$ は複数のデータ点のリスト z の平均値を表す。これを RMS エミッタンスの式 (16) に代入すると、

$$\varepsilon_{rms} = \sqrt{\langle x^2 \rangle \langle y^2 \rangle - \langle xy \rangle^2} \quad (19)$$

と見慣れた式が現れる。

2.4.2 その他のエミッタンス

二次元正規分布ではあるが、エミッタンスの定義が RMS と異なる場合がある。例えば「90% エミッタンス」のような表現である。これは二次元正規分布する全粒子の 90% の範囲が含まれる領域 (面積を π で割る) をいう。これまでの結果を流用することを考えると、90% エミッタンスを RMS エミッタンスに変換する必要がある。そのためには、式 (9) を積分する必要がある。このままでは積分は厄介なので、いくつかの変数変換を行う。すると、

$$P_{\eta\sigma} = \int \int_{\eta\sigma} f_X(x, y) dx dy = \frac{1}{2\pi\sigma^2} \int_0^{2\pi} \int_0^{\eta\sigma} \exp\left(-\frac{r^2}{2\sigma^2}\right) r dr d\theta = 1 - \exp\left(-\frac{\eta^2}{2}\right) \quad (20)$$

となる。 η は RMS エミッタンスの倍数を表す。 $\eta = 1$ が RMS エミッタンスで、確率 — 粒子の含まれる割合 — は 0.39346 である。確率 $P_{\eta\sigma}$ から楕円の右辺の η の計算は、

$$\eta = \sqrt{-2 \log(1 - P_{\eta\sigma})} \quad (21)$$

とである。90% エミッタンスは、 $\eta = 2.14596$ である。

式 (1) から、 η に対応するツイスパラメーターの

$$\begin{bmatrix} x & y \end{bmatrix} \begin{bmatrix} \gamma & \alpha \\ \alpha & \beta \end{bmatrix} \begin{bmatrix} x \\ y \end{bmatrix} = \eta\varepsilon \quad (22)$$

となり、楕円のプロットが可能である。

あるサンプル点 (x_i, y_i) がツイスパラメーターの楕円の内部/外部の判定が必要な場合がある。その判定は、

$$\begin{bmatrix} x_i & y_i \end{bmatrix} \begin{bmatrix} \gamma & \alpha \\ \alpha & \beta \end{bmatrix} \begin{bmatrix} x_i \\ y_i \end{bmatrix} \begin{cases} < \eta\varepsilon & \text{楕円内部} \\ = \eta\varepsilon & \text{楕円上} \\ > \eta\varepsilon & \text{楕円外部} \end{cases} \quad (23)$$

で可能である。

3 二次元正規分布の作成方法

ここでは、ツイスパラメーターから二次元正規分布を作成する方法の理論的な背景と具体的なアルゴリズムを示す。具体的な手続きは、

手続き (1) **標準二次元正規分布の生成** 標準偏差: $(\sigma_x = 1, \sigma_y = 1)$, 相関係数: $(\rho = 0)$ の二次元のベクトルの集合を (x_i, y_i) を生成する。

手続き (2) **コレスキー分解** ツイスパラメーターから作られる逆行列をコレスキー分解する。

手続き (3) **座標変換** コレスキー分解により得られた下三角行列を集合 (x_i, y_i) に乗ずることにより、座標変換を行う。すると、ベクトルの集合 (x'_i, y'_i) が得られる。

である。これらの手続きにより得られるベクトルの集合 (x'_i, y'_i) がツイスパラメーターが示す二次元の位相空間の分布になる。以降、この手続きが正しい理由を説明する。

3.1 手続き (1) 標準二次元正規分布

標準二次元正規分布 $(\sigma_x = 1, \sigma_y = 1, \rho = 0)$ の共分散行列は、

$$\Sigma_n = \begin{bmatrix} 1 & 0 \\ 0 & 1 \end{bmatrix} \quad (24)$$

である。この共分散行列が示す分布関数のベクトルの集合 (x_i, y_i) は、Python のようなコンピュータプログラムで容易に生成可能である。これは、RMS エミッタンス: $\varepsilon_n = 1$ の真ん丸の分布である。この分布を

$$\begin{aligned} \mathbf{Z} &= \begin{bmatrix} x_1 & x_2 & x_3 & \dots & x_N \\ y_1 & y_2 & y_3 & \dots & y_N \end{bmatrix} \\ &= [z_1, z_2, z_3, \dots, z_N] \end{aligned} \quad (25)$$

と記述する。

3.2 手続き (2) コレスキー分解

式 (12) から、この二次元正規分布は共分散行列で決められることが分かる。この行列は正定値の実数のエルミート行列である。すると、付録 A に示す通りコレスキー分解:

$$\Sigma_{tw} = \varepsilon_{rms} \begin{bmatrix} \gamma & \alpha \\ \alpha & \beta \end{bmatrix}^{-1} = \varepsilon_{rms} \begin{bmatrix} \beta & -\alpha \\ -\alpha & \gamma \end{bmatrix} = \mathbf{L}_{tw} \mathbf{L}_{tw}^T \quad (26)$$

が可能である。ここで、 \mathbf{L}_{tw} は下三角行列、 \mathbf{L}_{tw}^T はその転置行列で上三角行列になる。付録 B に示す通り、この下三角行列は、

$$\mathbf{L}_{tw} = \sqrt{\varepsilon} \begin{bmatrix} \sqrt{\beta} & 0 \\ -\frac{\alpha}{\sqrt{\beta}} & \sqrt{\gamma - \frac{\alpha^2}{\beta}} \end{bmatrix} \quad (27)$$

である。

3.3 手続き (3) 座標変換

標準二次元正規分布: \mathbf{Z} の成分をコレスキー分解により得られた下三角行列 \mathbf{L} を用いて、座標変換:

$$\mathbf{w}_i = \mathbf{L}_{tw} \mathbf{z}_i \quad (28)$$

を行う。この変換による得られる分布の集合:

$$\begin{aligned} \mathbf{W} &= \begin{bmatrix} u_1 & u_2 & u_3 & \dots & u_N \\ v_1 & v_2 & v_3 & \dots & v_N \end{bmatrix} \\ &= [\mathbf{w}_1, \mathbf{w}_2, \mathbf{w}_3, \dots, \mathbf{w}_N] \end{aligned} \quad (29)$$

とする。これは,

$$\mathbf{W} = \mathbf{L}_{tw} \mathbf{Z} \quad (30)$$

と記述可能である。

以降、この分布が式 (26) の共分散行列になっていることを示す。具体的には

- RMS エミッタンスが ε_{rms} である。
- 共分散行列が $\varepsilon_{rms} \begin{bmatrix} \beta & -\alpha \\ -\alpha & \gamma \end{bmatrix}$ である。

を示す。

RMS エミッタンス

付録 B に示す通り、下三角行列の行列式: $|\mathbf{L}_{tw}| = \varepsilon_{rms}$ である。標準二次元正規分布のエミッタンス: $\varepsilon_n = 1$ である。このことから、明らかに分布 \mathbf{W} のエミッタンスは、 ε_{rms} である。

共分散行列

次に、分布 \mathbf{W} の共分散行列を計算する。これは、式 (18) から

$$\begin{aligned} \Sigma_w &= \frac{1}{N} \mathbf{W} \mathbf{W}^T \\ &= \frac{1}{N} \mathbf{L}_{tw} \mathbf{z}_i \mathbf{z}_i^T \mathbf{L}_{tw}^T \\ &= \mathbf{L}_{tw} \begin{bmatrix} 1 & 0 \\ 0 & 1 \end{bmatrix} \mathbf{L}_{tw}^T \\ &= \mathbf{L}_{tw} \mathbf{L}_{tw}^T \\ &= \varepsilon_{rms} \begin{bmatrix} \beta & -\alpha \\ -\alpha & \gamma \end{bmatrix} \end{aligned} \quad (31)$$

となる。これにより、変換された分布 \mathbf{W} の共分散行列が目的となつてい式 (26) になっていることが分かる。

以上により、ツイスパラメーターから二次元正規分布を得る手順: (1) 標準二次元正規分布, (2) コレスキー分解, (3) 座標変換が正しいことが証明できた。

4 実際のプログラム

4.1 実行プログラムと入力ファイル

これまでに示したツイスパラメーターから実際の分布を作成する Python プログラムと関連ファイルを付録 C に示す。また、表 1 に構成ファイルとその内容を示す。

粒子分布を作成する Python プログラムには、いくつかのライブラリー (モジュール) が使われている。実行する場合は、ライブラリーをインストールした仮想環境を作成することを勧める。

粒子分布の指定方法は入力ファイル: リスト 4, 出力の散布図の指定はリスト 3(p.20) のとおりである。それぞれのフォーマットは YAML 形式である。ファイルのコメント欄に、各行の記述内容を示している。

実行方法はバッチファイル: リスト 6(p.24) の通りである。このリストは PowerShell であるが、他のシェルも使用可能である。

表 1: 粒子の分布を作成するプログラム

項目	ファイル名	リスト	内容
Python プログラム	mk_par_dist.py	リスト 2	入力データに従い分布作成を生成
	Scatter.py	リスト 3	散布図の作成
入力データ	例: init_par.yml	リスト 4	粒子分布の指定。ファイル名変更可能。
	例: config.yml	リスト 5	散布図の設定。ファイル名変更可能。
実行バッチファイル	例: run.ps1	リスト 6	実行バッチファイル。ファイル名変更可能。

4.2 出力

プログラム実行により作成される出力ファイルは、

- (1) CST Studio で読み込み可能な PIT 形式の粒子分布を表すテキストファイル
- (2) x, y, z の位相空間の散布図 (pdf, png)

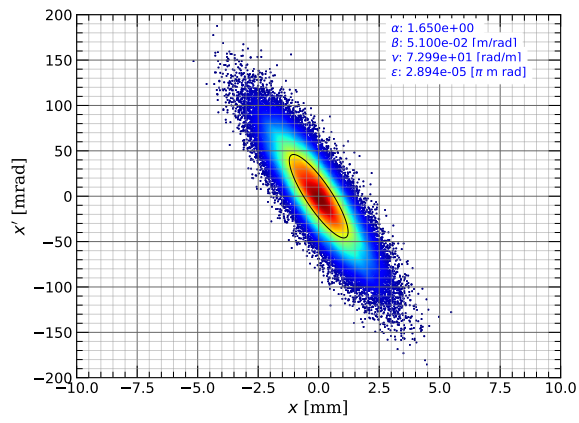
である。PIT 形式のテキストファイルをリスト 1 に示す。このテキストファイルを読み込み、CST Studio で Particle In Cell (PIC) シミュレーションが可能である。また、この PIC 形式ファイルが示す粒子分布を図 3 に示す。

リスト 1: 出力 PIT ファイル (init_par.pit)。粒子の数に応じた行があるので、以下のリストはファイルの一部である。ファイルの数値のフォーマットは .9e であるが、以下は表示のために .3e としている。

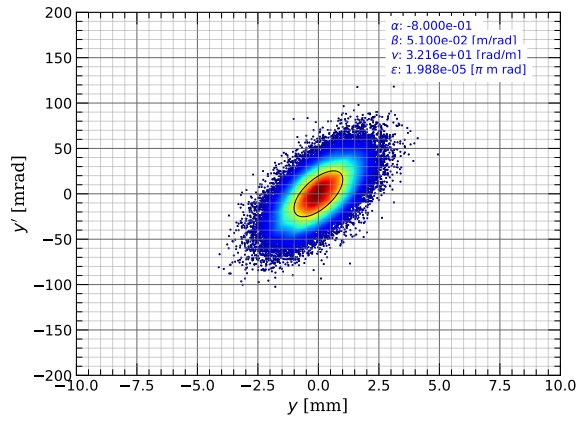
```

1 % Use always SI units.
2 % The momentum (mom) is equivalent to beta * gamma.
3 % The data need not to be chronological ordered.
4 %
5 % Columns: pos-x pos-y pos-z mom-x mom-y mom-z mass charge charge(macro) time
6
7 3.702e-04 1.136e-03 0.000e+00 -3.172e-04 2.202e-05 8.631e-03 1.672e-27 1.602e-19 1.000e-15 1.590e-08
8 9.118e-04 -3.160e-04 0.000e+00 -6.125e-05 -1.017e-04 8.637e-03 1.673e-27 1.602e-19 1.000e-15 1.571e-08
9 -2.370e-03 -1.343e-03 0.000e+00 3.938e-04 -3.145e-04 8.623e-03 1.673e-27 1.602e-19 1.000e-15 2.092e-08
10 1.553e-04 -1.108e-03 0.000e+00 -1.084e-04 -3.287e-04 8.631e-03 1.673e-27 1.602e-19 1.000e-15 3.600e-09
11 -2.041e-05 -1.154e-04 0.000e+00 -1.698e-04 1.201e-04 8.635e-03 1.673e-27 1.602e-19 1.000e-15 1.791e-08
12 1.068e-03 1.893e-03 0.000e+00 -1.384e-04 3.509e-04 8.629e-03 1.673e-27 1.602e-19 1.000e-15 2.073e-08
13 8.022e-05 1.696e-03 0.000e+00 2.095e-04 2.726e-05 8.635e-03 1.673e-27 1.602e-19 1.000e-15 9.276e-09
14 5.680e-04 1.775e-03 0.000e+00 -3.352e-04 1.864e-04 8.629e-03 1.673e-27 1.602e-19 1.000e-15 1.146e-08
15 4.480e-04 2.237e-03 0.000e+00 -3.222e-04 1.377e-04 8.630e-03 1.673e-27 1.602e-19 1.000e-15 1.655e-08
16 1.067e-03 1.078e-03 0.000e+00 -3.083e-04 -5.847e-05 8.632e-03 1.673e-27 1.602e-19 1.000e-15 1.316e-08
17 -2.246e-04 -1.139e-03 0.000e+00 -7.732e-05 2.263e-04 8.634e-03 1.673e-27 1.602e-19 1.000e-15 2.308e-08
18 1.485e-03 -8.617e-04 0.000e+00 -4.463e-04 -7.429e-05 8.626e-03 1.673e-27 1.602e-19 1.000e-15 2.115e-08

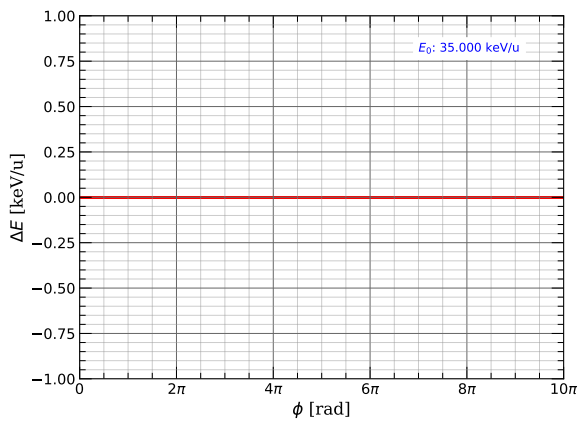
```



(a) X 方向の位相空間



(b) Y 方向の位相空間



(c) Z 方向の位相空間

図 3: 本プログラムにより作成された粒子の散布図

付録 A 線形代数のいろいろ

このあたりの話は、線形代数の教科書に書かれている。例えば、参考文献 [3] は良い教科書である。ここに書かれている内容をまとめ、任意の二次元正規分布を作成するための基礎数学を示す。

QR 分解

まずは、行列式がゼロでない行列 \mathbf{A} を考える。この場合、QR 分解できる。任意の一次独立な線形ベクトルの集合 $\mathbf{A} = (\mathbf{a}_1, \mathbf{a}_2, \mathbf{a}_3, \dots, \mathbf{a}_n)$ は、

$$\begin{bmatrix} | & | & | & \cdots & | \\ \mathbf{a}_1 & \mathbf{a}_2 & \mathbf{a}_3 & \cdots & \mathbf{a}_n \\ | & | & | & \cdots & | \end{bmatrix} = \begin{bmatrix} | & | & | & \cdots & | \\ \mathbf{q}_1 & \mathbf{q}_2 & \mathbf{q}_3 & \cdots & \mathbf{q}_n \\ | & | & | & \cdots & | \end{bmatrix} \begin{bmatrix} r_1 & r_2 & r_3 & \cdots & r_n \\ 0 & | & | & \cdots & | \\ 0 & 0 & | & \cdots & | \\ \vdots & \vdots & \vdots & \ddots & \vdots \\ 0 & 0 & 0 & \cdots & | \end{bmatrix} \quad (32)$$

と QR 分解できる。右辺の $\mathbf{Q} = (\mathbf{q}_1, \mathbf{q}_2, \mathbf{q}_3, \dots, \mathbf{q}_n)$ はユニタリー (正規直交行列) である。その右辺の上三角行列 $\mathbf{R} = (r_1, r_1, r_1, \dots, r_n)$ は、ベクトルの成分を表す。すなわち、

$$\mathbf{A} = \mathbf{QR} \quad (33)$$

である。この式は Gram-Schmidt の直交化である。ここで、 \mathbf{R} は上三角行列であることに注意。

コレスキー分解

次に、コレスキー分解を示す。次は、条件が厳しい正定値エルミート行列 \mathbf{A} を考える。もちろん、この行列の列ベクトルは一次線形独立なので、QR 分解できる。この行列の固有値 $(\lambda_1, \lambda_1, \lambda_1, \dots, \lambda_n)$ と固有ベクトル $(\mathbf{s}_1, \mathbf{s}_2, \mathbf{s}_3, \dots, \mathbf{s}_n)$ が作る行列をそれぞれ

$$\mathbf{\Lambda} = \begin{bmatrix} \lambda_1 & 0 & 0 & \cdots & 0 \\ 0 & \lambda_2 & 0 & \cdots & 0 \\ 0 & 0 & \lambda_3 & \cdots & 0 \\ \vdots & \vdots & \vdots & \ddots & \vdots \\ 0 & 0 & 0 & 0 & \lambda_n \end{bmatrix} \quad \mathbf{S} = \begin{bmatrix} | & | & | & \cdots & | \\ \mathbf{s}_1 & \mathbf{s}_2 & \mathbf{s}_3 & \cdots & \mathbf{s}_n \\ | & | & | & \cdots & | \end{bmatrix} \quad (34)$$

とする。正定値エルミート行列なので、すべての固有値は正の実数で固有ベクトルは直交している。これらを使うと、行列 \mathbf{A} は、

$$\mathbf{S}^{-1} \mathbf{A} \mathbf{S} = \mathbf{\Lambda} \quad (35)$$

と対角化できる。これは、

$$\mathbf{A} = \mathbf{S} \mathbf{\Lambda} \mathbf{S}^{-1} \quad (36)$$

$$= \mathbf{S} \mathbf{\Lambda}^{1/2} \mathbf{\Lambda}^{1/2} \mathbf{S}^{-1} \quad (37)$$

と変形できる。 \mathbf{S} は正規化を行い直交行列 (ユニタリー行列) にしても、この式は変わらない。ユニタリー行列の逆行列は、転置行列に等しい。したがって、

$$\mathbf{A} = \mathbf{S} \mathbf{\Lambda} \mathbf{S}^{-1} \quad (38)$$

$$= \mathbf{S} \mathbf{\Lambda}^{1/2} \mathbf{\Lambda}^{1/2} \mathbf{S}^T \quad (39)$$

$$= \left(\mathbf{\Lambda}^{1/2} \mathbf{S}^T \right)^T \left(\mathbf{\Lambda}^{1/2} \mathbf{S}^T \right) \quad (40)$$

である。上付きの T は転置行列を表す。ここで、 $\mathbf{A}^{1/2} \mathbf{S}^T$ は一次独立な線形ベクトルから構成されるので QR 分解が可能である。したがって、

$$\mathbf{A} = (\mathbf{QR})^T \mathbf{QR} \quad (41)$$

$$= \mathbf{R}^T \mathbf{Q}^T \mathbf{QR} \quad (42)$$

$$= \mathbf{R}^T \mathbf{R} \quad (43)$$

$$= \mathbf{LL}^T \quad (44)$$

となる。 \mathbf{R} は上三角行列なので、その転置行列である \mathbf{L} は下三角行列になる。正定値実数エルミート行列 \mathbf{A} を \mathbf{LL}^T することをコレスキー分解という。複素数の正定値行列の場合は、 \mathbf{LL}^\dagger となる。ここで、上付きの \dagger は複素共役転置行列を表す。

付録 B ツイスパラメーターの共分散行列のコレスキー分解

式 (15) ツイスパラメーターを表す共分散行列は

$$\boldsymbol{\Sigma} = \begin{bmatrix} \beta & -\alpha \\ -\alpha & \gamma \end{bmatrix} \quad (45)$$

である。これをコレスキー分解すると下三角行列は、

$$\mathbf{L} = \begin{bmatrix} \sqrt{\beta} & 0 \\ -\frac{\alpha}{\sqrt{\beta}} & \sqrt{\gamma - \frac{\alpha^2}{\beta}} \end{bmatrix} \quad (46)$$

である*3。加速器で使われる規約である式 (3) を使うと、明らかに

$$|\mathbf{L}| = 1 \quad (47)$$

である。

この結果から、

$$\boldsymbol{\Sigma}_{tw} = \varepsilon_{rms} \boldsymbol{\Sigma} = \varepsilon_{rms} \begin{bmatrix} \beta & -\alpha \\ -\alpha & \gamma \end{bmatrix} \quad (48)$$

のコレスキー分解の下三角行列は、

$$\mathbf{L}_{tw} = \sqrt{\varepsilon_{rms}} \begin{bmatrix} \sqrt{\beta} & 0 \\ -\frac{\alpha}{\sqrt{\beta}} & \sqrt{\gamma - \frac{\alpha^2}{\beta}} \end{bmatrix} \quad (49)$$

であることは明らかである。また、この行列式の値は

$$|\mathbf{L}_{tw}| = \varepsilon_{rms} \quad (50)$$

である。

*3 これは、 $\mathbf{L} = \begin{bmatrix} \ell_{11} & 0 \\ \ell_{21} & \ell_{22} \end{bmatrix}$ において、 $\boldsymbol{\Sigma}_{tp} = \mathbf{L}\mathbf{L}^T$ を解く

付録 C ツイスパラメーターから粒子分布作成プログラム

本節では、ツイスパラメーターから実際の粒子の分布を作成プログラムのソースコードを示す。このプログラムは、(1) Python のソースコード、(2) 入力データ、(3) 実行バッチファイルから構成される。

C.1 Python プログラム

Python のプログラムは実際に分布を作成するメインプログラムと散布図を作成するクラスから構成される。

C.1.1 分布作成プログラム

ツイスパラメーターに従った分布を作成するプログラムをリスト 2 に示す。このプログラムは、z 方向に関しては直流 (DC) ビームにも対応している。

リスト 2: 二次元分布作成プログラム (mk_par_dist.py)

```

1  # -*- coding: utf-8 -*-
2  """
3  mk_par_dist.py
4  CST Studio の PIT 形式の粒子分布を作詞える
5  - ツイス > 共分散:
6      Sigma = epsilon [[beta, -alpha], [-alpha, gamma]]
7      beta gamma - alpha^2 = 1
8  - z 方向のビームは「パンチ」と「直流が選択可能」
9  - DC の場合は、エネルギーは一定。
10 - 出力: CST Studio PIT座標
11      ((x, y, z), beta(x, y, z), gamma, 質量, 電荷, マクロ電荷, 時刻)
12 """
13 import argparse
14 import os
15 from pathlib import Path
16 from typing import Dict, Tuple, List
17 import matplotlib.pyplot as plt
18 import numpy as np
19 import subprocess
20 import yaml
21 from Scatter import Scatter as plot
22
23 CLIGHT = 299792458.0 # [m/s]
24
25 # =====
26 # ツイスパラメーターと共分散行列の変換
27 # =====
28 def twiss_to_cov(alpha: float, beta: float, epsilon: float) -> np.ndarray:
29     gamma = (1.0 + alpha*alpha)/beta
30     Sigma = epsilon*np.array([[beta, -alpha],
31                               [-alpha, gamma]], dtype=float)
32     return Sigma
33
34 def cov_to_twiss(Sigma: np.ndarray) -> Tuple[float, float, float, float]:
35     eps = float(np.sqrt(np.linalg.det(Sigma)))
36     beta = float(Sigma[0, 0]/eps)
37     gamma = float(Sigma[1, 1]/eps)
38     alpha = float(-Sigma[0, 1]/eps)
39     return alpha, beta, gamma, eps
40
41 # =====
42 # Sampling

```

```

43 # =====
44 def _sample_standard_truncated_2d(N: int, rmax: float,
45                                 rng: np.random.Generator)\
46                                 -> np.ndarray:
47     if rmax <= 0.0:
48         raise ValueError("rmax must be positive.")
49     out = np.empty((N, 2), dtype=float)
50     filled = 0
51     batch = max(1024, int(1.2 * N))
52     while filled < N:
53         z = rng.standard_normal((batch, 2))
54         r2 = (z * z).sum(axis=1)
55         keep = r2 <= (rmax * rmax)
56         k = min(int(keep.sum()), N - filled)
57         if k > 0:
58             out[filled:filled + k] = z[keep][:k]
59             filled += k
60     return out
61
62
63 # -----
64 # 2正規分布の作成. D
65 # コレスキー分解
66 # 正規分布の生成 (sigma=1)
67 # 楕円に変換
68 # -----
69 def sample_plane(alpha: float, beta: float, epsilon: float,
70                 N: int, max_sigma: float, rng: np.random.Generator) -> np.ndarray:
71     Sigma = twiss_to_cov(alpha, beta, epsilon)
72     try:
73         L = np.linalg.cholesky(Sigma)
74     except np.linalg.LinAlgError: # 正定値行列から少しずれた場合の処理
75         L = np.linalg.cholesky(Sigma + 1e-18 * np.eye(2))
76
77     if max_sigma is None or max_sigma <= 0:
78         z = rng.standard_normal((N, 2))
79     else:
80         z = _sample_standard_truncated_2d(N, max_sigma, rng)
81     uv = z @ L.T
82     return uv
83
84
85 # -----
86 # マクロ粒子の分布の作成
87 # -----
88 def make_distributions(par_data: Dict, seed: int = 12345):
89     """戻り値
90     : (planes, bunch_id)
91     planes: dict with keys 'x', 'y', 'z', each (N,2) array of (u,v) where
92           x->(x,x'), y->(y,y'), z->(phi,dE).
93     shape==Bunch:
94           total N = particle.N (split across N_bunch), z: Gaussian + phi shift by 2 pi k.
95     shape==DC:
96           total N = particle.N*N_bunch, z: phi uniform in [0, 2pi N_bunch), dE = 0
97           (E=E0).
98     """
99     rng = np.random.default_rng(seed)
100    dist = par_data["distribution"]
101    shape = str(dist["shape"]).strip().upper()
102    N_bunch = int(dist["N_bunch"])
103    max_sigma = float(dist["max_sigma"])
104    N = int(par_data["particle"]["N"])

```

```

105 planes: Dict[str, np.ndarray] = {}
106 bunch_id: np.ndarray
107
108 N_Bunches = np.full(N_bunch, N)
109 # x,y per bunch
110 for c in ("x", "y"):
111     p = dist[c]
112     blocks = []
113     for N_par in N_Bunches:
114         uv = sample_plane(float(p["alpha"]), float(p["beta"]), float(p["epsilon"]),
115                           N=N_par, max_sigma=max_sigma, rng=rng)
116         blocks.append(uv)
117     planes[c] = np.vstack(blocks)
118
119 if shape == "BUNCH":
120     # z per bunch + phi shift
121     pz = dist["z"]
122     phi0 = pz['phi0']
123     z_blocks = []; bid = []
124     for k, N_par in enumerate(N_Bunches):
125         uv = sample_plane(float(pz["alpha"]), float(pz["beta"]),
126                           float(pz["epsilon"]),
127                           N=N_par, max_sigma=max_sigma, rng=rng)
128         uv[:,0] += (2.0 * np.pi) * k + np.deg2rad(phi0)
129         z_blocks.append(uv); bid.append(np.full(N_par, k, dtype=int))
130     planes["z"] = np.vstack(z_blocks)
131     bunch_id = np.concatenate(bid) if bid else np.zeros((0,), dtype=int)
132
133 elif shape == "DC":
134     # z:  $\phi$  uniform, dE zeros
135     phi = rng.uniform(0.0, 2.0 * np.pi * N_bunch, size=N_Bunches.sum())
136     dE = np.zeros(N_Bunches.sum(), dtype=float)
137     planes["z"] = np.column_stack([phi, dE])
138     bunch_id = np.floor(phi / (2.0 * np.pi)).astype(int)
139 else:
140     raise SystemExit(f"distribution.shape は 'Bunch' または 'DC' を指定してください (現在
141     : {shape}).)")
142
143 return planes, bunch_id
144
145 # =====
146 # phase space plot
147 # =====
148 # -----
149 # Transverse space
150 # c: 座標 ('x' or 'y')
151 # xxp: 散布図データ [軸リストx, 軸リストy]
152 # dist_cor: ツイスパラメーター, 標準偏差, 相関係数
153 # plot_path: プロットのパス
154 # BunchNo: バンチの番号 (0, 1, 2, ...)
155 # -----
156 def _plot_transverse_space(c, xxp, dist_cor, config, plot_path, BunchNo=False):
157     ''' shape='DC' の場合の横方向(x, y) の位相空間 '''
158
159     conf = config['plot']['phase_space'][c]
160     mm, mrad = 1.0e+3, 1.0e+3
161     x, xp = xxp[0]*mm, xxp[1]*mrad # [nm] [mrad]
162     ux, uxp = dist_cor['av_posi']*mm, dist_cor['av_angle']*mrad
163     sx, sy = dist_cor['sigma']['u']*mm, dist_cor['sigma']['v']*mrad
164     rho = dist_cor['rho']
165     ellipse = {'ux':ux, 'uy':uxp, 'sx':sx, 'sy':sy, 'rho':rho, 'eta':1}
166

```

```

167 alpha, beta, gamma = dist_cor['alpha'], dist_cor['beta'], dist_cor['gamma']
168 epsilon = dist_cor['epsilon']
169 text_label=[
170     {'coordinate': [0.65, 0.95], 'label': r'$\alpha$: {0:.3e}'.format(alpha)},
171     {'coordinate': [0.65, 0.91], 'label': r'$\beta$: {0:.3e} [m/rad]'.format(beta)},
172     {'coordinate': [0.65, 0.87], 'label': r'$\gamma$: {0:.3e} [rad/m]'.format(gamma)},
173     {'coordinate': [0.65, 0.83], 'label': r'$\varepsilon$: {0:.3e} [$\pi$ m
        rad]'.format(epsilon)},
174 ]
175 if BunchNo is not False:
176     text_label.append({'coordinate': [0.05, 0.95], 'label': f'Bunch #:
        {BunchNo:02d}'})
177
178 # ----- プロットの作成 -----
179 x_axis = {'label': r'${0:s}$ [mm]'.format(c), 'range': conf['position_range']}
180 y_axis = {'label': r'${0:s}^\prime$ [mrad]'.format(c), 'range': conf['angle_range']}
181
182 fig = plt.figure(figsize=(8, 6))
183 ax1 = fig.add_subplot(1,1,1)
184
185
186 plot.color_map_with_ellipse(ax1, [x, xp], x_axis, y_axis, ellipse,
187                               marker=conf['marker'], size=conf['size'],
188                               color_map=conf['color_map'], text=text_label)
189
190 plt.subplots_adjust(left=0.15, bottom=0.2, right=0.85, top=0.9, wspace=0.3,
191                    hspace=0.3)
192 fig.savefig(plot_path+'.pdf', format='pdf', orientation='portrait',
193            transparent=False, bbox_inches=None)
194 fig.savefig(plot_path+'.png', format='png', orientation='portrait',
195            transparent=False, bbox_inches=None)
196 fig.clf()
197 plt.close('all')
198
199 subprocess.run(["pdftocrop", plot_path+'.pdf', plot_path+'.pdf'], check=True)
200
201 # -----
202 # Longitudinal Bunch
203 # -----
204 def _plot_longitudinal_space(c, dPdE, dist_cor, config, plot_path, BunchNo=False):
205     ''' shape='Bunch' の場合の縦方向(dPhase, dEnergy) の位相空間 '''
206
207     conf = config['plot']['phase_space']['z']
208     rad2mdeg = np.rad2deg(1)*1e3
209     dP, dE = dPdE[0]*conf['E_unit']['scale'], xxp[1]*mrad # [nm] [mrad]
210     ux, xpx = dist_cor['av_posi']*mm, dist_cor['av_angle']*mrad
211     sx, sy = dist_cor['sigma']['u']*mm, dist_cor['sigma']['v']*mrad
212     rho = dist_cor['rho']
213     ellipse = {'ux':ux, 'uy':xpx, 'sx':sx, 'sy':sy, 'rho':rho, 'eta':1}
214
215     alpha, beta, gamma = dist_cor['alpha'], dist_cor['beta'], dist_cor['gamma']
216     epsilon = dist_cor['epsilon']
217     text_label=[
218         {'coordinate': [0.65, 0.95], 'label': r'$\alpha$: {0:.3e}'.format(alpha)},
219         {'coordinate': [0.65, 0.91], 'label': r'$\beta$: {0:.3e} [m/rad]'.format(beta)},
220         {'coordinate': [0.65, 0.87], 'label': r'$\gamma$: {0:.3e} [rad/m]'.format(gamma)},
221         {'coordinate': [0.65, 0.83], 'label': r'$\varepsilon$: {0:.3e} [$\pi$ mm
            mrad]'.format(epsilon)},
222     ]
223     if BunchNo is not False:
224         text_label.append({'coordinate': [0.05, 0.95], 'label': f'Bunch #:
            {BunchNo:02d}'})

```

```

225
226 # ----- プロットの作成 -----
227 x_axis = {'label': r'${0:s}$ [mm]'.format(c), 'range': conf['position_range']}
228 y_axis = {'label': r'${0:s}^\prime$ [mrad]'.format(c), 'range': conf['angle_range']}
229
230 fig = plt.figure(figsize=(8, 6))
231 ax1 = fig.add_subplot(1,1,1)
232
233
234 plot.color_map_with_ellipse(ax1, [x, xp], x_axis, y_axis, ellipse,
235                               marker=conf['marker'], size=conf['size'],
236                               color_map=conf['color_map'], text=text_label)
237
238 plt.subplots_adjust(left=0.15, bottom=0.2, right=0.85, top=0.9, wspace=0.3,
239                    hspace=0.3)
240 fig.savefig(plot_path+'.pdf', format='pdf', orientation='portrait',
241            transparent=False, bbox_inches=None)
242 fig.savefig(plot_path+'.png', format='png', orientation='portrait',
243            transparent=False, bbox_inches=None)
244 fig.clf()
245 plt.close('all')
246
247 subprocess.run(["pdfcrop", plot_path+'.pdf', plot_path+'.pdf'], check=True)
248
249 # -----
250 # Longitudinal DC
251 # -----
252 def _plot_longitudinal_space_DC(dPdE, dist, config, plot_path, BunchNo=False):
253     ''' shape='DC' の場合の横方向(x) の位相空間 '''
254
255     conf = config['plot']['phase_space']['z']
256     dPhi, dE = dPdE[:,0], dPdE[:,1]*conf['E_unit']['scale'] # 位相, エネルギー
257
258
259 # ----- プロットの作成 -----
260 def fmt_pi(x, pos):
261     k = int(round(x/np.pi))
262     return r"$0$" if k == 0 else rf"${k}\pi$"
263
264 x_axis = {'label': r'\phi$ [rad]', 'range':[0, 2.0*np.pi*dist['N_bunch']],
265          'ticks_space':2*np.pi, 'ticks_format':fmt_pi}
266 y_axis = {'label': r'\Delta E$ [{0:s}]'.format(conf['E_unit']['unit']),
267          'range':conf['dE_range']}
268
269 fig = plt.figure(figsize=(8, 6))
270 ax1 = fig.add_subplot(1,1,1)
271
272 plot.scatter(ax1, [dPhi, dE], x_axis, y_axis,
273             marker=conf['marker'], size=conf['size'], color='red',
274             text=[{'coordinate': [0.7, 0.9], 'label': '$E_0$: {0:.3f}'
275                   'keV/u'.format(dist['z']['E0']*1.0e-3)}])
276
277 # --- ファイル出力 ---
278 plt.subplots_adjust(left=0.15, bottom=0.2, right=0.85, top=0.9, wspace=0.3,
279                    hspace=0.3)
280 fig.savefig(plot_path+'.pdf', format='pdf', orientation='portrait',
281            transparent=False, bbox_inches=None)
282 fig.savefig(plot_path+'.png', format='png', orientation='portrait',
283            transparent=False, bbox_inches=None)
284 fig.clf()
285 plt.close('all')
286

```

```

284     subprocess.run(["pdfcrop", plot_path+'.pdf', plot_path+'.pdf'], check=True)
285
286 # -----
287 # plot phase space control
288 # -----
289 def plot_phase_space(planes, par_data, out_path, config):
290
291     os.makedirs(os.path.join(os.path.dirname(out_path), 'plot'), exist_ok=True)
292
293     N_par_bunch = par_data['particle'] ['N']
294     if par_data['distribution'] ['shape'].upper() == 'DC':
295         # --- 横方向 (x, y) ---
296         for c in ('x', 'y'):
297             x_axis, y_axis=planes[c][:,0], planes[c][:,1]
298             plot_path = Path(os.path.join(os.path.dirname(out_path), 'plot',
299                                     c)).as_posix()
300             _plot_transverse_space(c, [x_axis, y_axis], par_data['distribution'][c],
301                                   config, plot_path)
302
303         # --- 縦方向 (z) ---
304         plot_path = Path(os.path.join(os.path.dirname(out_path), 'plot', 'z')).as_posix()
305         _plot_longitudinal_space_DC(planes['z'], par_data['distribution'], config,
306                                    plot_path)
307
308     elif par_data['distribution'] ['shape'].upper() == 'BUNCH':
309         # --- 横方向 (x, y) ---
310         for ib in range(par_data['distribution'] ['N.bunch']):
311             start, stop = ib*N_par_bunch, (ib+1)*N_par_bunch
312             for c in ('x', 'y'):
313                 plot_path = Path(os.path.join(os.path.dirname(out_path), 'plot',
314                                             f'{ib:02d}-{c}')).as_posix()
315                 x_axis, y_axis=planes[c][:,0][start:stop], planes[c][:,1][start:stop]
316                 _plot_transverse_space(c, [x_axis, y_axis], par_data['distribution'][c],
317                                       config, plot_path, BunchNo=ib)
318
319     else:
320         print('\n\nError !! Setting (distribution > shape) should be DC or Bunch.')
321         print(f'your setting is {par_data["distribution"]["shape"]}.')
322         exit()
323
324 # =====
325 # I/O
326 # =====
327 # -----
328 # インプットファイルの読み込みと設定
329 # -----
330 def set_parameters(in_file: str, config_file: str) -> Tuple[Dict, Dict, Dict]:
331     ''' インプットファイルの読み込みと設定 '''
332     with open(in_file, "r", encoding="utf-8") as f:
333         input_data = yaml.safe_load(f)
334         par_data = dict(input_data)
335
336     for c in ("x", "y", "z"):
337         p = par_data["distribution"][c]
338         alpha = float(p["alpha"]); beta = float(p["beta"]); eps = float(p["epsilon"])
339         gamma = (1.0 + alpha * alpha) / beta
340         p["gamma"] = gamma
341         p["sigma"] = {"u": np.sqrt(beta * eps), "v": np.sqrt(gamma * eps)}
342         p["rho"] = -alpha / np.sqrt(1.0 + alpha * alpha)
343
344     with open(config_file, "r", encoding="utf-8") as f:
345         read_data = yaml.safe_load(f)
346         config_data = dict(read_data)
347

```

```

343
344     return input_data, par_data, config_data
345
346
347 # =====
348 # PIT writer
349 # =====
350 # -----
351 # calculate beta * gamma
352 #     xp, yp: 角度 [deg]
353 #     E: エレメンタリー粒子の運動エネルギー [J]
354 # -----
355 def betagamma_components(xp: np.ndarray, yp: np.ndarray, E: np.ndarray, mass_kg: float):
356     mc2 = mass_kg * C_LIGHT**2 # mc^2
357     G = 1.0 + (E/mc2) # gamma
358     BG = np.sqrt(G*G - 1.0) # beta * gamma
359     B_par_Bz = np.sqrt(1.0 + xp*xp + yp*yp) # beta/beta_z
360     BzG = BG / B_par_Bz # beta_z * gamma
361     BxG = xp * BzG # beta_x * gamma
362     ByG = yp * BzG # beta_y * gamma
363
364     return BxG, ByG, BzG
365
366
367 # -----
368 # make pit file which is CST Studio PIC input
369 # -----
370 def write_output(planes: Dict[str, np.ndarray], par_data: Dict, out_path: str, bunch_id:
371     np.ndarray) -> None:
372     """
373     PIT format (text):
374     Columns: pos_x pos_y pos_z mom_x mom_y mom_z mass charge charge(macro) time
375     mom_* = beta*gamma components. Units: SI. pos_z=z0 (fixed). time = phi/(2*pi*RF).
376     All numeric fields are formatted as lowercase scientific with 9 decimals: '%.9e'.
377     """
378     acc = par_data['accelerator']
379     par = par_data['particle']
380     dist = par_data['distribution']
381
382     N_par_bunch = par_data['particle']['N']
383     N_par_total = planes['z'].shape[0]
384
385     X, Xp = planes['x'][:,0], planes['x'][:,1] # [m] [rad]
386     Y, Yp = planes['y'][:,0], planes['y'][:,1] # [m] [rad]
387     Phi, dE = planes['z'][:,0], planes['z'][:,1] # [rad] [eV]
388     Z = np.full_like(X, dist['z']['z0'], dtype=float) # pos_z = z0 (fixed)
389
390     E0 = float(dist['z']['E0']) # [eV]
391     RF = float(acc['RF']) # [Hz]
392     Ib = float(dist['Ib']) # [A]
393     mass = float(par['m']) # [kg]
394     charge = float(par['e']) # [C]
395
396     t = Phi/(2.0*np.pi*RF) # time from phi
397     E = E0 + dE # Kinetic energy [eV]
398     bgx, bgy, bgz = betagamma_components(Xp, Yp, E*np.abs(charge), mass) # beta * gamma
399     q_macro_charge = Ib / (RF * N_par_bunch) # Charge per macro particle q =
400         Ib/(N*RF)
401     q = np.full(N_par_total, q_macro_charge, dtype=float)
402
403 # Formatter
404 def fe9(v: float) -> str:

```

```

404     try:
405         if np.isfinite(v):
406             return '{0:.9e}'.format(v)
407         else:
408             return "nan"
409     except Exception:
410         return "nan"
411
412     os.makedirs(os.path.dirname(out_path) or ".", exist_ok=True)
413     with open(out_path, "w", encoding="utf-8") as f:
414         f.write("% Use always SI units.\n")
415         f.write("% The momentum (mom) is equivalent to beta * gamma.\n")
416         f.write("% The data need not to be chronological ordered.\n")
417         f.write("%\n")
418         f.write("% Columns: pos_x pos_y pos_z mom_x mom_y mom_z mass charge
419             charge(macro) time\n\n")
420         for i in range(N_par_total):
421             row = " ".join([
422                 fe9(X[i]), fe9(Y[i]), fe9(Z[i]),
423                 fe9(bgx[i]), fe9(bgy[i]), fe9(bgz[i]),
424                 fe9(mass), fe9(charge), fe9(q[i]), fe9(t[i])
425             ])
426             f.write(row + "\n")
427
428 # =====
429 # メイン関数
430 # =====
431 def main():
432     import argparse
433     ap = argparse.ArgumentParser(description="初期粒子分布の作成 (CST PIT 出力)")
434     ap.add_argument("-i", "--input", required=True, help="インプットYAML")
435     ap.add_argument("-o", "--output", required=True, help="出力ファイル (PIT.) pit")
436     ap.add_argument("--seed", type=int, default=12345, help="乱数シード 再現用()")
437     ap.add_argument("--config", required=True, help="設定ファイル")
438     args = ap.parse_args()
439
440     input_data, par_data, config_data = set_parameters(args.input, args.config)
441     planes, bunch_id = make_distributions(par_data, seed=args.seed)
442     write_output(planes, par_data, args.output, bunch_id)
443     plot_phase_space(planes, par_data, args.output, config_data)
444
445     print("N =", planes['z'].shape[0], "shape =", par_data['distribution'].get('shape'))
446     print(f"Saved PIT: {args.output}")
447
448 if __name__ == "__main__":
449     main()

```

C.1.2 散布図作成クラス

リスト 3 は、作成された粒子の分布をプロットするクラスである。これは、メインプログラムのリスト 2 から呼び出される。

リスト 3: 散布図作成クラス (Scatter.py)

```

1 # -*- coding:utf-8 -*-
2 import matplotlib.ticker as ticker
3 import mpl_toolkits.axes_grid1
4 import numpy as np
5 from scipy.stats import gaussian_kde
6
7 class Scatter():

```

```

8      ''' 二次元散布図の作成 '''
9
10     # =====
11     # 散布図
12     # =====
13     @classmethod
14     def scatter(cls, axis, xy, x_axis, y_axis, **kwargs):
15         ''' 散布図を作成する '''
16
17         for i, txt in enumerate(kwargs['text']):
18             rot = txt['rotation'] if 'rotation' in txt.keys() else 0.0
19             fs = txt['fontsize'] if 'fontsize' in txt.keys() else 10
20             fc = txt['color'] if 'color' in txt.keys() else 'blue'
21             axis.text(txt['coordinate'][0], txt['coordinate'][1], txt['label'],
22                     rotation=rot, fontsize=fs, color=fc, transform=axis.transAxes,
23                     backgroundcolor="white")
24
25             axis.set_xlabel(x_axis['label'], fontsize=14, fontname='serif',
26                             fontweight='normal')
27             axis.set_ylabel(y_axis['label'], fontsize=14, fontname='serif',
28                             fontweight='normal')
29             axis.tick_params(direction='in', axis='both', length=10, which='major',\
30                             labelsize=12,\
31                             bottom=True, top=True, left=True, right=True)
32             axis.tick_params(direction='in', axis='both', length=5, which='minor',\
33                             bottom=True, top=True, left=True, right=True)
34             if 'ticks_space' in x_axis.keys():
35                 axis.xaxis.set_major_locator(ticker.MultipleLocator(x_axis['ticks_space']))
36             if 'ticks_format' in x_axis.keys():
37                 axis.xaxis.set_major_formatter(ticker.FuncFormatter(x_axis['ticks_format']))
38             if 'ticks_space' in y_axis.keys():
39                 axis.yaxis.set_major_locator(ticker.MultipleLocator(y_axis['ticks_space']))
40             if 'ticks_format' in y_axis.keys():
41                 axis.yaxis.set_major_formatter(ticker.FuncFormatter(y_axis['ticks_format']))
42             if isinstance(x_axis['range'], (list, np.ndarray)):
43                 axis.set_xlim([x_axis['range'][0], x_axis['range'][1]])
44             if isinstance(y_axis['range'], (list, np.ndarray)):
45                 axis.set_ylim([y_axis['range'][0], y_axis['range'][1]])
46             axis.minorticks_on()
47             axis.grid(which='major', color='#666666', linestyle='-')
48             axis.grid(which='minor', color='#999999', linestyle='-', alpha=0.5)
49
50             axis.scatter(xy[0], xy[1], marker=kwargs['marker'], s=kwargs['size'],
51                         c=kwargs['color'], linewidth=0.2)
52
53         return axis
54
55     # =====
56     # カラーマップと楕円
57     #  $\gamma*(x-ux)**2 + 2*\alpha*(x-ux)*(y-uy) + \beta*(y-uy)**2 = \text{eps}$ 
58     # ellips = [ux, uy, alpha, beta, eps]
59     # =====
60     @classmethod
61     def color_map_with_ellipse(cls, axis, xy, x_axis, y_axis, ellipse, **kwargs):
62         ''' カラーマッププロットを作成する '''
63         if not 'linewidth' in kwargs.keys(): kwargs['linewidth'] = 0.2
64
65         for i, txt in enumerate(kwargs['text']):
66             rot = txt['rotation'] if 'rotation' in txt.keys() else 0.0
67             fs = txt['fontsize'] if 'fontsize' in txt.keys() else 10
68             fc = txt['color'] if 'color' in txt.keys() else 'blue'

```

```

69         axis.text(txt['coordinate'][0], txt['coordinate'][1], txt['label'],
70                  rotation=rot, fontsize=fs, color=fc, transform=axis.transAxes,
71                  backgroundcolor="white")
72     axis.set_xlabel(x_axis['label'], fontsize=14, fontname='serif',
73                   fontweight='normal')
74     axis.set_ylabel(y_axis['label'], fontsize=14, fontname='serif',
75                   fontweight='normal')
76     axis.tick_params(direction='in', axis='both', length=10, which='major',\
77                    labelsiz=12,\
78                    bottom=True, top=True, left=True, right=True)
79     axis.tick_params(direction='in', axis='both', length=5, which='minor',\
80                    bottom=True, top=True, left=True, right=True)
81     if isinstance(x_axis['range'], (list, np.ndarray)):
82         axis.set_xlim([x_axis['range'][0], x_axis['range'][1]])
83     if isinstance(y_axis['range'], (list, np.ndarray)):
84         axis.set_ylim([y_axis['range'][0], y_axis['range'][1]])
85     axis.minorticks_on()
86     axis.grid(which='major', color='#666666', linestyle='-')
87     axis.grid(which='minor', color='#999999', linestyle='-', alpha=0.5)
88
89     # ----- 散布図の作成 -----
90     x, y = xy[0], xy[1]
91     xy_vstack = np.vstack([x,y])
92     xy = np.vstack([x,y])
93     dens = gaussian_kde(xy)(xy)
94     idx = dens.argsort()
95     xx, yy, ddens = x[idx], y[idx], dens[idx]
96
97     axis.scatter(xx, yy, marker=kwargs['marker'], s=kwargs['size'],\
98                c=ddens, cmap=kwargs['color_map'], linewidth=kwargs['linewidth'])
99
100    # ----- 楕円の作成 -----
101    if ellipse:
102        ux = ellipse['ux']
103        uy = ellipse['uy']
104        sx = ellipse['sx']
105        sy = ellipse['sy']
106        rho = ellipse['rho']
107        eta = ellipse['eta']
108
109        S = eta*np.pi*sx*sy*np.sqrt(1-rho**2)
110        print('section of ellipse: {0:.3f}'.format(S))
111
112        cov = [[sx**2, rho*sx*sy], [rho*sx*sy, sy**2]]
113        Sig_inv = np.matrix(np.linalg.inv(cov))
114
115        # --- 楕円内のポイントのカウンタ ---
116        n_in = 0
117        for XX, YY in zip(x, y):
118            dis = np.matrix([XX-ux, YY-uy])@Sig_inv@np.matrix([XX-ux, YY-uy]).T
119            if dis[0,0] < eta: n_in += 1
120        print('Number of Ellips: {0:d}'.format(n_in))
121        gamma = Sig_inv[0, 0]
122        beta = Sig_inv[1, 1]
123        alpha = Sig_inv[0, 1]
124
125        mg_x, mg_y = np.mgrid[x_axis['range'][0]: x_axis['range'][1]: 4001j,
126                             y_axis['range'][0]: y_axis['range'][1]: 4001j]
127
128        axis.contour(mg_x, mg_y,
129                    gamma*(mg_x-ux)**2+2*alpha*(mg_x-ux)*(mg_y-uy)+beta*(mg_y-uy)**2,
130                    [eta],
131                    colors='k', linewidths=[0.5])

```

```
129
130     return axis
```

C.2 入力データ

入力データは、(1) 粒子の分布、(2) 散布図のプロット設定の二つから構成される。

C.2.1 粒子分布

リスト 4 は、粒子の分布を指定するファイルである。

リスト 4: 散布図作成クラス (init_par.yml)

```
1 accelerator:
2   RF:          200.0e6      # RF frequency [Hz]
3
4 particle:
5   e:          1.602176634E-19 # elelment charge [C]. minus for electron
6   m:          1.67262192E-27 # mass [kg]
7   N:          10000         # macro paticles per period (or per bunh)
8
9 distribution:
10  Ib:         2e-3          # Beam current [A]. minus for electron
11  shape:      DC           # DC or Bunch
12  max_sigma:  6            # trancated Gaussian
13  N_bunch:    5            # バンチの数
14  x:
15    av_posi:   0.0          # 平均 mu [m]
16    av_angle:  0.0          # 平均 x^\prime [rad]
17    alpha:    1.65          # Twiss parameter
18    beta:     0.051         #
19    epsilon:  2.894352E-05 # RMS emittance [m rad]
20
21  y:
22    av_posi:   0.0          # 平均 mu [m]
23    av_angle:  0.0          # 平均 x^\prime [rad]
24    alpha:    -0.8          # Twiss parameter
25    beta:     0.051         #
26    epsilon:  1.987654E-05 # RMS emittance [m rad]
27
28  z:
29    z0:        0.0          # 粒子の発生する座標z [m. すべてのマクロ粒子で同じ値. ]
30    E0:        35.0e+3      # 平均運動エネルギー [eV/u]
31    phi0:      180          # バンチ平均位相 [deg]
32    alpha:    0.0          # Twiss parameter
33    beta:     10.0         #
34    epsilon:  1.0e-6       # RMS emittance [rad eV]
```

C.2.2 散布図プロット設定

リスト 5 は、粒子の分布のプロットの設定ファイルである。

リスト 5: 散布図作成クラス (config.yml)

```
1 plot:
2   phase_space:
3     x:
4       position_range:  [-10.0, 10.0] # プロット範囲 mm
5       angle_range:    [-200.0, 200.0] # mrad
6       marker:         '.'           # 位相空間プロットの marker
7       size:           4.0          # marker size
```

```

8         color_map:          'jet'          # カラーマップ
9
10        y:
11            position_range:  [-10.0, 10.0]   # プロット範囲 mm
12            angle_range:    [-200.0, 200.0]  #                               mrad
13            marker:         '.'            # 位相空間プロットの marker
14            size:           4.0            # marker size
15            color_map:      'jet'          # カラーマップ
16
17        z:
18            E_unit:          {'unit': 'keV/u', 'scale': 1.0e-3}
19            dPhase_range:   [-5.0, 5.0]     # プロット範囲 deg
20            dE_range:       [-1.0, 1.0]    # 単位は                               E_unit
21            marker:         '.'            # 位相空間プロットの marker
22            size:           4.0            # marker size
23            color_map:      'jet'          # カラーマップ

```

C.3 実行バッチファイル

リスト 6 は、実行バッチファイルの例である。

リスト 6: 散布図作成クラス (run.ps1)

```

1 python program/mk_par_dist.py --seed 42 -i data/init_par.yml -o data/pars/init_par.pit
   --config data/config.yml

```

参考文献

- [1] 山本昌志. 楕円.
<http://www.yamamo10.jp/yamamoto/study/accelerator/theory/ellipse/index.php>.
- [2] 山本昌志. 正規分布.
http://www.yamamo10.jp/yamamoto/study/accelerator/theory/normal_dist/index.php.
- [3] G. ストラング. 線形代数とその応用. 産業図書, 1992.
監訳者: 山口昌哉, 訳者: 井上昭.